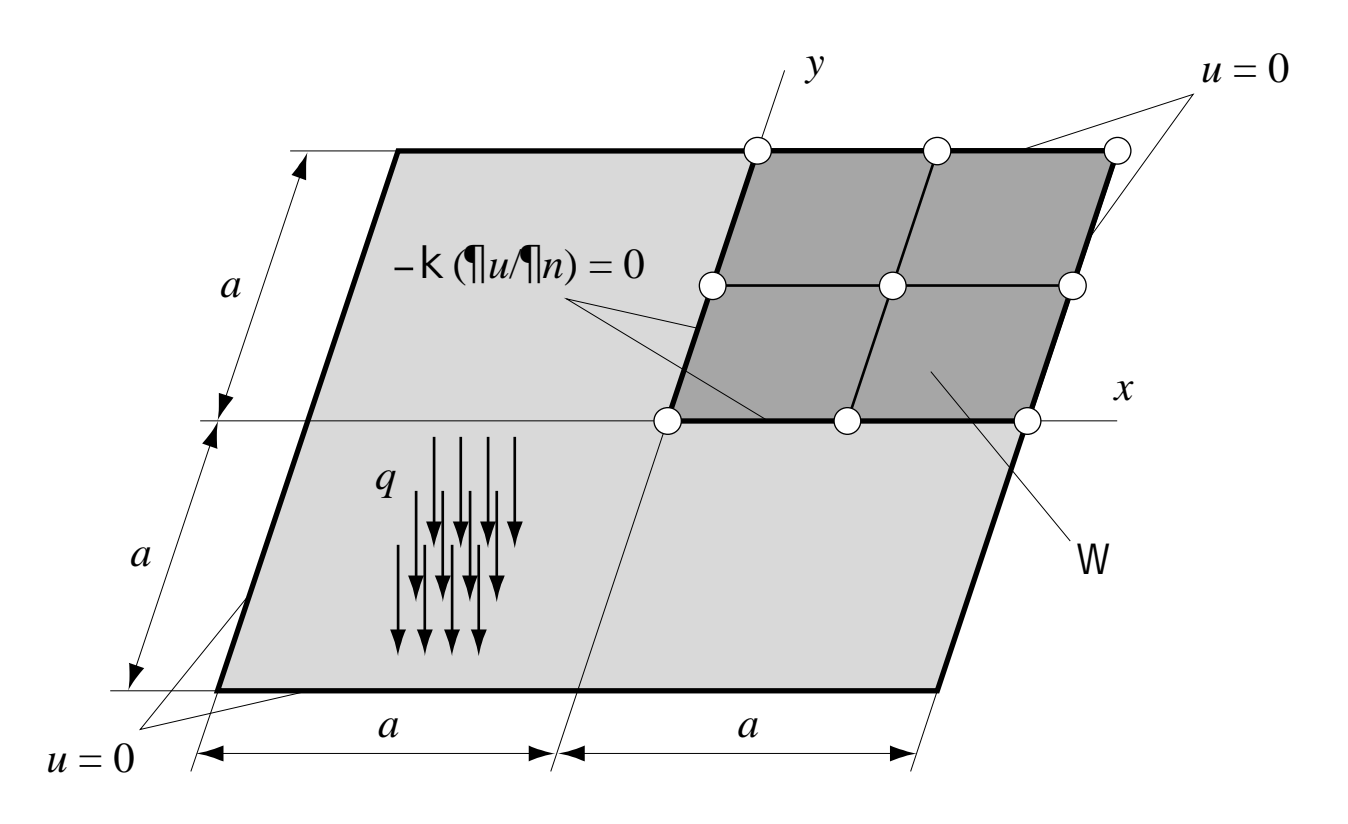
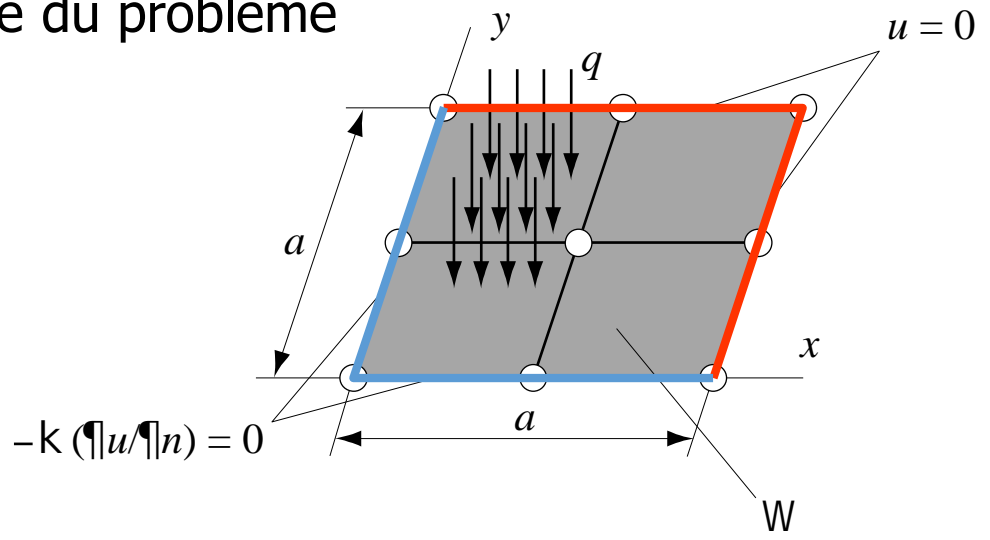
Méthode des éléments finis Formulation intégrale des problèmes aux limites bidimensionnels

Prof. F. Gallaire



Distribution des températures sur une plaque carrée dont le quart est subdivisé en quatre éléments finis identiques

Forme forte du problème

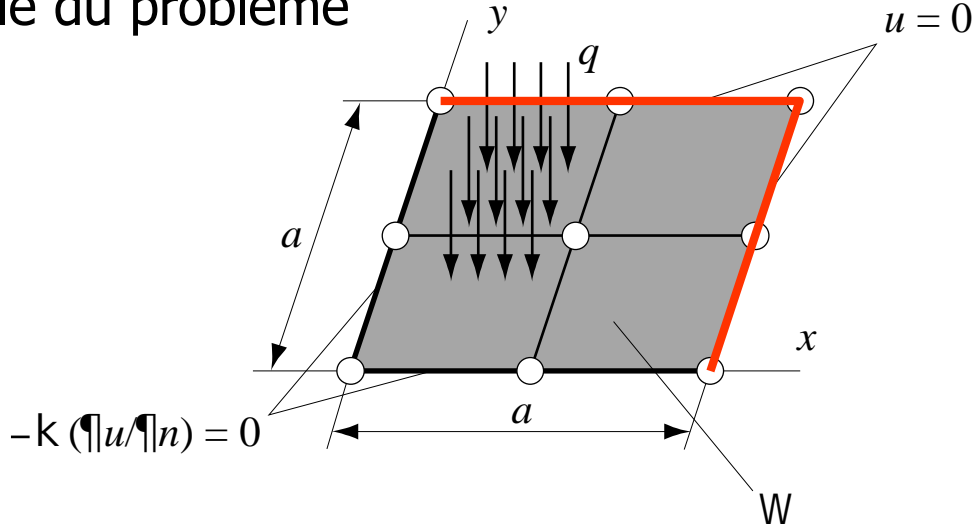


$$u \in C^{2}(\overline{\Omega}) : \nabla^{T}(-\kappa \nabla u) = q \quad \text{dans } \Omega$$

$$u = 0 \quad \text{sun } \partial \Omega_{u}$$

$$-\kappa(\partial u/\partial n) = 0 \quad \text{sun } \partial \Omega_{\sigma}$$

Forme faible du problème



$$u \in U : \int_{\Omega} \left[\kappa (\nabla u)^{T} \nabla \delta u \right] dx dy$$
$$= \int_{\Omega} q \, \delta u \, dx \, dy \quad \forall \, \delta u \in V$$

-137-

$$U = V = \{w \mid w \in H^1(\Omega) ; w = 0 \text{ sur } \partial \Omega_u \}$$

Forme faible discrète du problème

Matrice élémentaire de conductivité

$${}^{e}\mathbf{K} = \int_{e_{\Omega}} {}^{e}\kappa \left[(\partial^{e}\mathbf{H}^{T}/\partial x) (\partial^{e}\mathbf{H}/\partial x) + (\partial^{e}\mathbf{H}^{T}/\partial y) (\partial^{e}\mathbf{H}/\partial y) \right] dx dy$$

Vecteur élémentaire des sources d'énergie-chaleur

$$e$$
r = $\int_{e_Q}^{e} \mathbf{H}^{\mathrm{T}} e q \, \mathrm{d}x \, \mathrm{d}y$

• Forme indicielle de la matrice de conductivité ${}^e{\bf K}$

$${}^{e}k_{ij} = \int_{e_{\Omega}} {}^{e}\kappa \left[(\partial^{e}h_{i}/\partial x) (\partial^{e}h_{j}/\partial x) + (\partial^{e}h_{i}/\partial y) (\partial^{e}h_{j}/\partial y) \right] dx dy$$

Matrice jacobienne

$$= \int_{a_{\Omega}}^{e} \kappa \left[\left(\partial^{e} h_{i} / \partial x \right) \left(\partial^{e} h_{j} / \partial x \right) + \left(\partial^{e} h_{i} / \partial y \right) \left(\partial^{e} h_{j} / \partial y \right) \right]^{e} j \, \mathrm{d}\xi \, \mathrm{d}\eta$$

$$(\partial^{e} h_{i}/\partial y) = (\partial^{e} J_{21}^{-1})(\partial^{a} h_{i}/\partial \xi) + (\partial^{a} J_{22}^{-1})(\partial^{a} h_{i}/\partial \eta)$$

$$ej = \det(e\mathbf{J})$$

Forme indicielle du vecteur des sources d'énergie-chaleur er

$$er_i = \int_{e_{\Omega}}^{e} h_i eq \, dx \, dy$$

$$= \int_{a_{\Omega}}^{a} h_i eq^{ej} \, d\xi \, d\eta$$

$$= \int_{ej}^{a} = \det(e\mathbf{J})$$
Matrice jacobienne

21/12/2017 -140-

Réseau d'éléments finis $\P W_u : u = 0$ a/2a/28 9 $\P W_S : \P u / \P x = 0$ h 4 ^{1}T a/2 ^{3}W 4 W Χ 6 5 aWa/2 ^{1}W ^{2}W $\boldsymbol{\mathcal{X}}$ 2 $\P W_S : \P u / \P y = 0$

Tableau de connectivité

numérotation	<i>e</i> ₩	$^{1}\!W$	² W	³₩	⁴ ₩	- numérotation		
locale des nœuds	1	1	2	4	5	globale des nœuds		
	- 2	2	3	5	6			
	3	5	6	8	9			
	4	4	5	7	8			

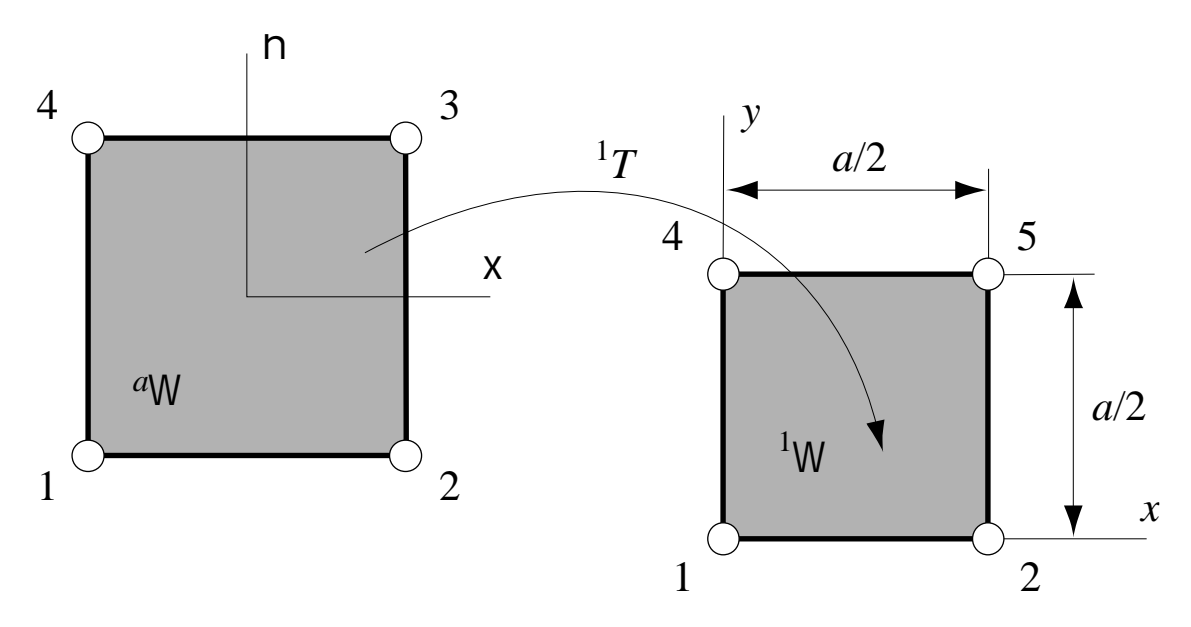


4 éléments finis identiques

 \Rightarrow Calcul uniquement des contributions dues à Ω_1

21/12/2017 -142-

• Transformation de coordonnées relative à l'élément ${}^1\varOmega$



$${}^{1}T: \quad x = (a/2) {}^{a}h_{2} + (a/2) {}^{a}h_{3} = (1 + \xi) (a/4)$$
$$y = (a/2) {}^{a}h_{3} + (a/2) {}^{a}h_{4} = (1 + \eta) (a/4)$$

21/12/2017 -143-

Jacobien et matrice jacobienne

$${}^{1}T: \begin{array}{l} x = (1 + \xi) (a/4) \\ y = (1 + \eta) (a/4) \end{array}$$

$$\partial x/\partial \xi = a/4$$
 $\partial x/\partial \eta = 0$ $\partial y/\partial \xi = 0$ $\partial y/\partial \eta = a/4$

$${}^{1}\mathbf{J} = \begin{bmatrix} a/4 & 0 \\ 0 & a/4 \end{bmatrix} \qquad {}^{1}\mathbf{J}^{-1} = \begin{bmatrix} 4/a & 0 \\ 0 & 4/a \end{bmatrix}$$

Dérivées des fonctions de base

$$^{1}\mathbf{J}^{-1} = \begin{bmatrix} 4/a & 0 \\ 0 & 4/a \end{bmatrix}$$

$$\frac{\partial^{1}h_{i}}{\partial x} = \frac{\partial^{a}h_{i}}{\partial \xi} \underbrace{ \begin{bmatrix} 1J_{11}^{-1} \\ -1J_{11} \end{bmatrix}}_{11} + \frac{\partial^{a}h_{i}}{\partial \eta} \underbrace{ \begin{bmatrix} 1J_{12}^{-1} \\ -1J_{22} \end{bmatrix}}_{12} = \frac{4}{a} \frac{\partial^{a}h_{i}}{\partial \xi}$$

$$\frac{\partial^{1}h_{i}}{\partial v} = \frac{\partial^{a}h_{i}}{\partial \xi} \underbrace{ \begin{bmatrix} 1J_{21}^{-1} \\ -2J_{21} \end{bmatrix}}_{12} + \frac{\partial^{a}h_{i}}{\partial \eta} \underbrace{ \begin{bmatrix} 1J_{22}^{-1} \\ -2J_{22} \end{bmatrix}}_{12} = \frac{4}{a} \frac{\partial^{a}h_{i}}{\partial \eta}$$



Pas de distorsion géométrique de l'élément

Calcul des composantes de la matrice de conductivité

21/12/2017 -146-

Calcul des composantes de la matrice de conductivité

Calcul des composantes de la matrice de conductivité

$${}^{e}k_{ij} = \int_{a_{\Omega}} {}^{e}\kappa \left[(\partial^{e}h_{i}/\partial x) \left(\partial^{e}h_{j}/\partial x \right) + (\partial^{e}h_{i}/\partial y) \left(\partial^{e}h_{j}/\partial y \right) \right] {}^{e}j \, \mathrm{d}\xi \, \mathrm{d}\eta$$

$$= \int_{a_{\Omega}} {}^{e}\kappa \left[(\partial^{a}h_{i}/\partial \xi) \left(\partial^{a}h_{j}/\partial \xi \right) + (\partial^{a}h_{i}/\partial \eta) \left(\partial^{a}h_{j}/\partial \eta \right) \right] \frac{1}{a^{2}} \frac{a^{f}}{16} \, \mathrm{d}\xi \, \mathrm{d}\eta$$

$$= \int_{a_{\Omega}} {}^{e}\kappa \left[(\partial^{a}h_{i}/\partial \xi) \left(\partial^{a}h_{j}/\partial \xi \right) + (\partial^{a}h_{i}/\partial \eta) \left(\partial^{a}h_{i}/\partial \eta \right) \right] \, \mathrm{d}\xi \, \mathrm{d}\eta$$

$$+ (\partial^{a}h_{i}/\partial \eta) \left(\partial^{a}h_{i}/\partial \eta \right) \left(\partial^{a}h_{i}/\partial \eta \right) \right] \, \mathrm{d}\xi \, \mathrm{d}\eta$$

Calcul des composantes de la matrice de conductivité (suite)

$${}^{1}k_{11} = \int_{a_{\Omega}} \kappa \left[(\xi^{a}h_{1})\partial \xi)^{2} + (\xi^{a}h_{1})\partial \eta)^{2} \right] d\xi d\eta$$

$${}^{a}h_{1} = (1 - \xi)(1 - \eta)/4$$

$${}^{a}h_{1}/\partial \xi = (\eta - 1)/4$$

$${}^{a}h_{1}/\partial \eta = (\xi - 1)/4$$

-147-

Calcul des composantes de la matrice de conductivité (suite)

$${}^{1}k_{12} = {}^{1}k_{21} = -\kappa/6$$

$${}^{1}k_{13} = {}^{1}k_{31} = -\kappa/3$$

$${}^{1}k_{14} = {}^{1}k_{41} = -\kappa/6$$

$${}^{1}k_{22} = 2\kappa/3$$

$${}^{1}k_{23} = {}^{1}k_{32} = -\kappa/6$$

$${}^{1}k_{24} = {}^{1}k_{42} = -\kappa/3$$

$${}^{1}k_{33} = 2\kappa/3$$

$${}^{1}k_{34} = {}^{1}k_{43} = -\kappa/6$$

$${}^{1}k_{44} = 2\kappa/3$$

Matrice élémentaire de conductivité

$${}^{1}\mathbf{K} = {}^{2}\mathbf{K} = {}^{3}\mathbf{K} = {}^{4}\mathbf{K} = \frac{\kappa}{6} \begin{vmatrix} 4 & -1 & -2 & -1 \\ -1 & 4 & -1 & -2 \\ -2 & -1 & 4 & -1 \\ -1 & -2 & -1 & 4 \end{vmatrix}$$

Termes indépendants de la géométrie ⇒ géométrie particulière (carré)

 Assemblage de la matrice de conductivité globale

$${}^{1}\mathbf{K} = \frac{\kappa}{6} \begin{bmatrix} 4 & -1 & -2 & -1 \\ -1 & 4 & -1 & -2 \\ -2 & -1 & 4 & -1 \\ -1 & -2 & -1 & 4 \end{bmatrix}$$

de la Exemple d'application 2D méthode des éléments finis

Assemblage de la matrice de conductivité globale

ssemblage de la matrice e conductivité globale
$$\frac{1}{4} = \frac{\kappa}{6} \begin{bmatrix} 4 & -1 & -2 & -1 \\ -1 & 4 & -1 & -2 \\ -2 & -1 & 4 & -1 \\ -1 & -2 & -1 & 4 \end{bmatrix}$$

21/12/2017 -150-

 Assemblage de la matrice de conductivité globale

21/12/2017

$${}^{1}\mathbf{K} = \frac{\kappa}{6} \begin{bmatrix} 4 & -1 & -2 & -1 \\ -1 & 4 & -1 & -2 \\ -2 & -1 & 4 & -1 \\ -1 & -2 & -1 & 4 \end{bmatrix}$$

-150-

 Assemblage de la matrice de conductivité globale

$${}^{1}\mathbf{K} = \frac{\kappa}{6} \begin{bmatrix} 4 & -1 & -2 & -1 \\ -1 & 4 & -1 & -2 \\ -2 & -1 & 4 & -1 \\ -1 & -2 & -1 & 4 \end{bmatrix}$$

-150-

de la Exemple d'application 2D méthode des éléments finis

Assemblage de la matrice de conductivité globale

$${}^{1}\mathbf{K} = \frac{\kappa}{6} \begin{bmatrix} 4 & -1 & -2 & -1 \\ -1 & 4 & -1 & -2 \\ -2 & -1 & 4 & -1 \\ -1 & -2 & -1 & 4 \end{bmatrix}$$

21/12/2017 -150-

de la Exemple d'application 2D méthode des éléments finis

Assemblage de la matrice de conductivité globale

$${}^{1}\mathbf{K} = \frac{\kappa}{6} \begin{bmatrix} 4 & -1 & -2 & -1 \\ -1 & 4 & -1 & -2 \\ -2 & -1 & 4 & -1 \\ -1 & -2 & -1 & 4 \end{bmatrix}$$

 Assemblage de la matrice de conductivité globale

$${}^{1}\mathbf{K} = \frac{\kappa}{6} \begin{bmatrix} 4 & -1 & -2 & -1 \\ -1 & 4 & -1 & -2 \\ -2 & -1 & 4 & -1 \\ -1 & -2 & -1 & 4 \end{bmatrix}$$

 Assemblage de la matrice de conductivité globale

$${}^{1}\mathbf{K} = \frac{\kappa}{6} \begin{bmatrix} 4 & -1 & -2 & -1 \\ -1 & 4 & -1 & \boxed{-2} \\ -2 & -1 & 4 & -1 \\ -1 & -2 & -1 & 4 \end{bmatrix}$$

 Assemblage de la matrice de conductivité globale

$${}^{1}\mathbf{K} = \frac{\kappa}{6} \begin{bmatrix} 4 & -1 & -2 & -1 \\ -1 & 4 & -1 & -2 \\ -2 & -1 & 4 & -1 \\ -1 & -2 & -1 & 4 \end{bmatrix}$$

de la Exemple d'application 2D méthode des éléments finis

Assemblage de la matrice de conductivité globale

$${}^{1}\mathbf{K} = \frac{\kappa}{6} \begin{bmatrix} 4 & -1 & -2 & -1 \\ -1 & 4 & -1 & -2 \\ -2 & -1 & 4 & -1 \\ -1 & -2 & -1 & 4 \end{bmatrix}$$

21/12/2017 -150-

 Assemblage de la matrice de conductivité globale

ac coi	idactiv	ice global			1 _{W} _	K	-1	4	_
					N -	6	-2	-1	4
$^{e}\!\mathbb{W}$	¹ W				$^{1}\mathbf{K}=$		-1	-2	_
1	1						_		
2	2		Г	4	1		1	•	



Symétrie

$$(-1)$$
 4 ... (5)

de la Exemple d'application 2D méthode des éléments finis

Assemblage de la matrice de conductivité globale

$$\frac{^{e_{W}}}{1}$$
 $\frac{^{1}_{W}}{2}$ $\frac{1}{2}$ $\frac{1}{2}$ $\frac{1}{4}$ $\frac{1}{4}$

$${}^{1}\mathbf{K} = \frac{\kappa}{6} \begin{bmatrix} 4 & -1 & -2 & -1 \\ -1 & 4 & -1 & -2 \\ -2 & -1 & 4 & -1 \\ -1 & -2 & -1 & 4 \end{bmatrix}$$

21/12/2017 -150-

 Assemblage de la matrice de conductivité globale (suite)

suite)	K	-1	4	-1	-2
K =	6	-2	-1		
Termes dus à $^1 \Omega$)	-1	-2	-1	4

$$\mathbf{K} = \frac{\kappa}{6} \begin{vmatrix} \dots & -1 & 4 & \dots & -2 & -1 & (3) \\ -1 & -2 & 4 & -1 & \dots & (4) \\ -2 & -1 - 1 & -2 & -1 & 4 + 4 & -1 & (5) \end{vmatrix}$$

$$\dots$$
 -2 -1 \dots -1 4 (6)

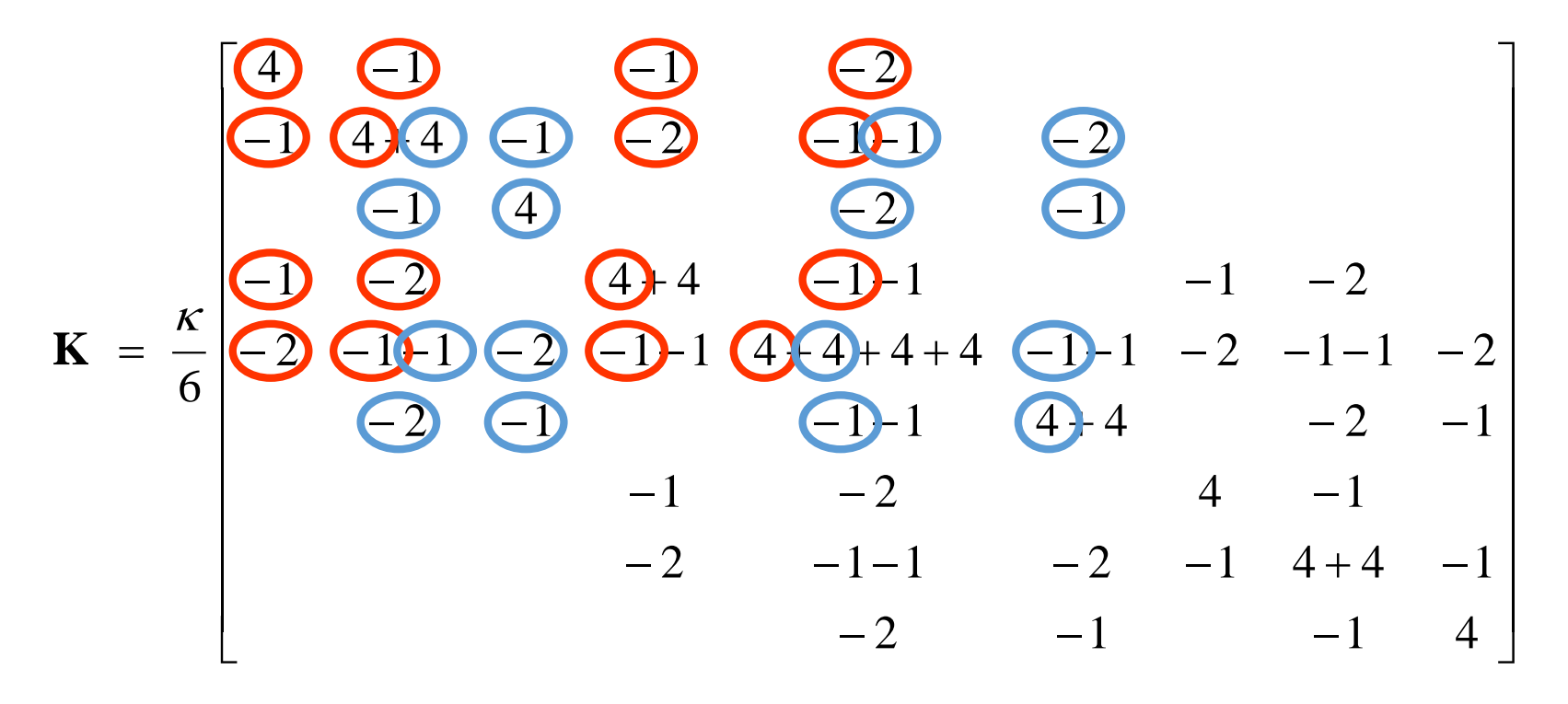
Assemblage de la matrice de conductivité globale (suite)

$$\mathbf{K} = \frac{\kappa}{6} \begin{bmatrix} 4 & -1 & -1 & -2 & & & & \\ -1 & 4+4 & -1 & -2 & -1-1 & -2 & & & \\ -1 & 4+4 & -1 & -2 & -1-1 & -2 & -1 & & \\ -1 & -2 & 4+4 & -1-1 & & -1 & -2 & -1 \\ -2 & -1-1 & -2 & -1-1 & 4+4+4+4 & -1-1 & -2 & -1-1 & -2 \\ -2 & -1 & & -1-1 & 4+4 & -2 & -1 \\ & & -2 & -1-1 & -2 & -1 & 4+4 & -1 \\ & & & -2 & -1 & -1 & 4 \end{bmatrix}$$

Assemblage de la matrice de conductivité globale (suite)

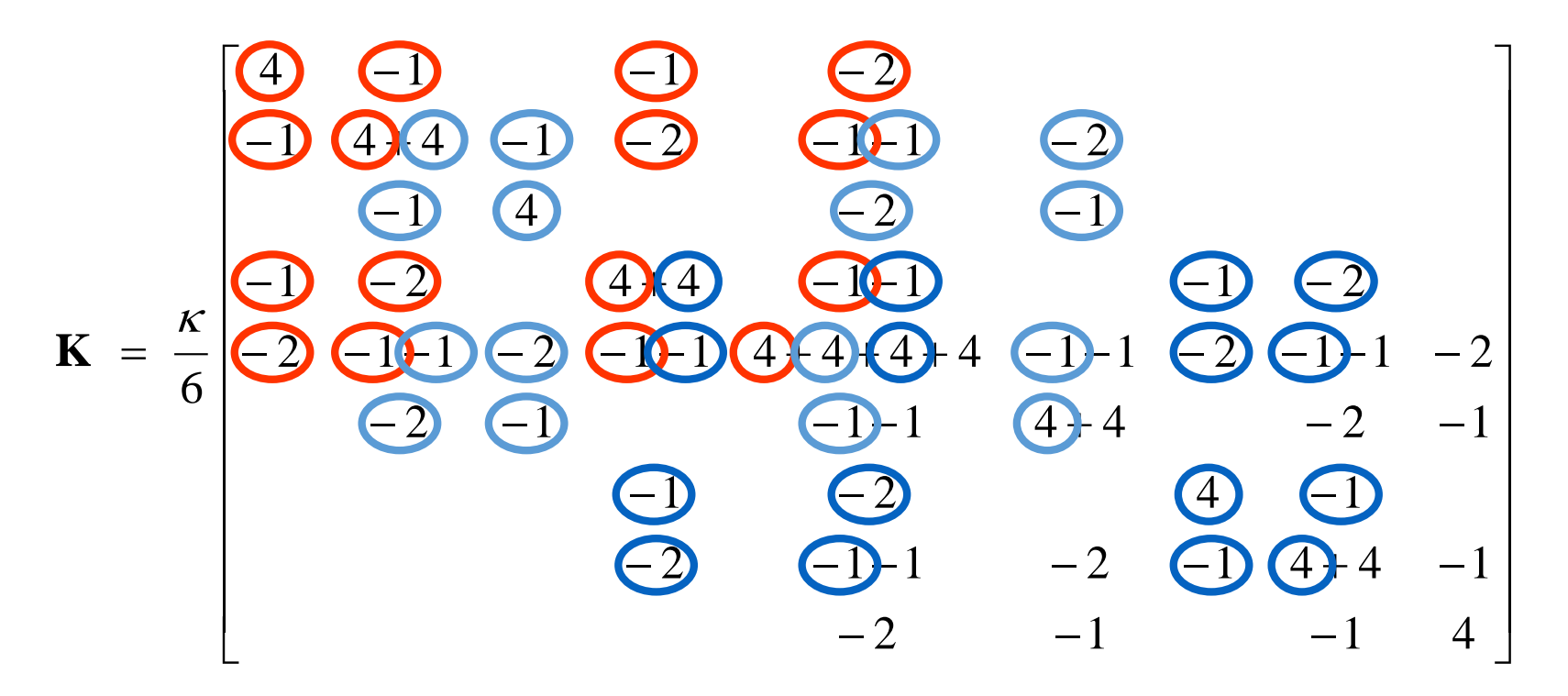
21/12/2017 -152-

Assemblage de la matrice de conductivité globale (suite)



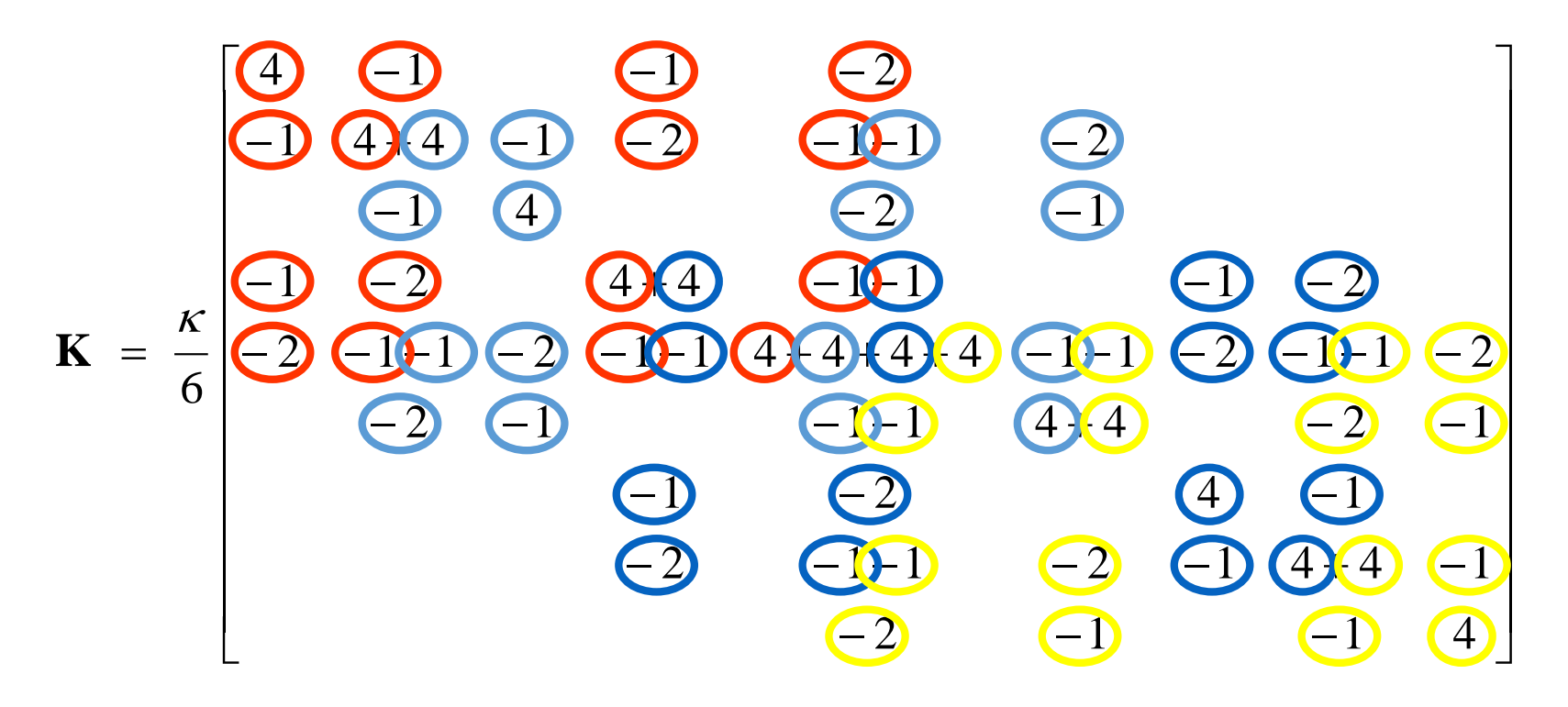
21/12/2017 -152-

• Assemblage de la matrice de conductivité globale (*suite*)



21/12/2017 -152-

Assemblage de la matrice de conductivité globale (suite)

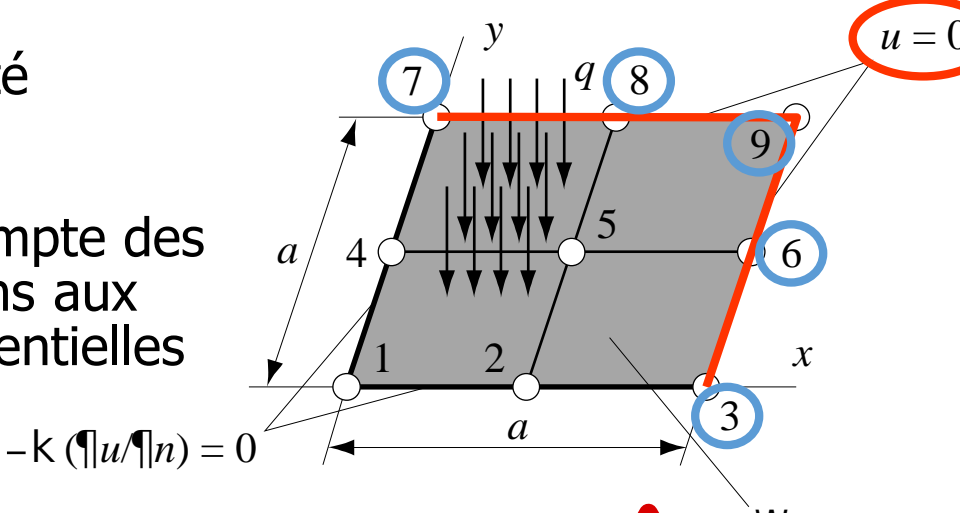


Matrice de conductivité globale

Matrice de conductivité globale réduite



Prise en compte des conditions aux limites essentielles conditions aux



$$\mathbf{K}_{r} = \frac{\kappa}{6} \begin{bmatrix} 4 & -1 & -1 & -2 \\ -1 & 8 & -2 & -2 \\ -1 & -2 & 8 & -2 \\ -2 & -2 & -2 & 16 \end{bmatrix}$$
Suppression des lignes et colonnes 3, 6, 7, 8 et 9



 Calcul des composantes du vecteur des sources d'énergie-chaleur

$${}^{e}r_{i} = \int_{a_{\Omega}}{}^{a}h_{i}{}^{e}q{}^{e}j{}\,\mathrm{d}\xi{}\,\mathrm{d}\eta = \int_{a_{\Omega}}{}^{a}h_{i}{}^{e}q{}(a^{2}/16){}\,\mathrm{d}\xi{}\,\mathrm{d}\eta$$

$${}^{1}r_{1} = \int_{a_{\Omega}}{}^{a}h_{1}{}^{e}q{}(a^{2}/16){}\,\mathrm{d}\xi{}\,\mathrm{d}\eta$$

$${}^{a}h_{1} = (1 - \xi)(1 - \eta)/4$$

$${}^{1}r_{1} = \int_{-1}^{+1}\int_{-1}^{+1}\frac{q}{4}(1 - \xi)(1 - \eta)\frac{a^{2}}{16}{}\,\mathrm{d}\xi{}\,\mathrm{d}\eta = qa^{2}/16$$

 Calcul des composantes du vecteur des sources d'énergie-chaleur (suite)

$$^{1}r_{2} = qa^{2}/16$$
 $^{1}r_{3} = qa^{2}/16$
 $^{1}r_{4} = qa^{2}/16$

Vecteur élémentaire des sources d'énergie-chaleur

$${}^{1}\mathbf{r} = \frac{qa^{2}}{16}\{1, 1, 1, 1\}^{T}$$
Justification du résultat

Assemblage du vecteur global des sources d'énergie-chaleur

$$\mathbf{r} = \frac{qa^2}{16} \{1, 1+1, 1, 1+1, 1+1+1+1, 1+1, 1, 1+1, 1\}^{\mathrm{T}}$$

e _W	$^{1}\!$	² W	³₩	⁴ ₩
1	1	2	4	5
2	2	3	5	6
3	5	6	8	9
4	4	5	7	8

Assemblage du vecteur global des sources d'énergie-chaleur

$$\mathbf{r} = \frac{qa^2}{16}$$
 111-1, 1, 1+1, 1, 1+1, 1, 1+1, 1, 1

e _W	1 _W	² W	3	⁴ ₩
1	1	2	4	5
2	2	3	5	6
3	5	6	8	9
4	4	5	7	8

Assemblage du vecteur global des sources d'énergie-chaleur

$$\mathbf{r} = \frac{qa^2}{16} \{1, 1 + 1, 1 + 1, 1 + 1, 1 + 1, 1, 1, 1 + 1, 1\}^T$$

e _W	¹ W	² W	³₩	⁴ ₩
1 2	1 2	2 3	4 5	5 6
3 4	5 4	6 5	8 7	9 8

Assemblage du vecteur global des sources d'énergie-chaleur

$$\mathbf{r} = \frac{qa^2}{16} \{1, 1+1, 1, 1+1, 1, 1+1, 1, 1+1, 1, 1\}^{\mathrm{T}}$$

e _W	¹ W	² W	3 ₩	⁴ ₩
1	1 2	2	4 5	5 6
2 3	5	5 6	8	9
4	4	5	7	8

Assemblage du vecteur global des sources d'énergie-chaleur

eW	¹ W	² W	³₩	4W
1	1	2	4	5
2	2	3	5	6
3	5	6	8	9
4	4	5	7	8

Assemblage du vecteur global des sources d'énergie-chaleur

$$\mathbf{r} = \frac{qa^2}{16} \{1, 1+1, 1, 1+1, 1+1+1+1, 1+1, 1, 1+1, 1\}^{\mathrm{T}}$$

e _W	¹ W	² W	³₩	⁴ ₩
1	1	2	4	5
2	2	3	5	6
3	5	6	8	9
4	4	5	7	8

Vecteur global des sources d'énergie-chaleur

$$\mathbf{r} = \frac{qa^2}{16} \{1, 2, 1, 2, 4, 2, 1, 2, 1\}^{\mathrm{T}}$$

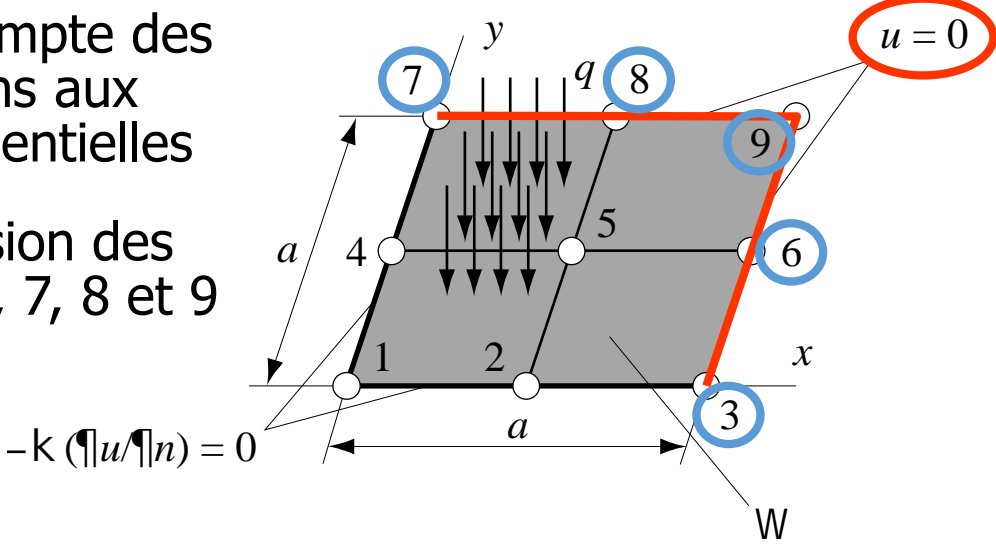
Vecteur global réduit des sources d'énergie-chaleur



Prise en compte des conditons aux limites essentielles



Suppression des lignes 3, 6, 7, 8 et 9



$$\mathbf{r}_r = \frac{qa^2}{16} \{1, 2, 2, 4\}^{\mathrm{T}}$$

• Système d'équations réduit

$$\mathbf{K}_{r}(\mathbf{q}_{r}) = \mathbf{r}_{r}$$



Températures aux nœuds 1, 2, 4 et 5

réduit
$$a = 0$$
res aux
$$a = 0$$

$$b = 0$$

$$a = 0$$

$$a = 0$$

$$b = 0$$

$$b = 0$$

$$a = 0$$

$$b = 0$$

$$\frac{\kappa}{6} \begin{bmatrix} 4 & -1 & -1 & -2 \\ -1 & 8 & -2 & -2 \\ -1 & -2 & 8 & -2 \\ -2 & -2 & -2 & 16 \end{bmatrix} \begin{Bmatrix} q_1 \\ q_2 \\ q_4 \\ q_5 \end{Bmatrix} = \frac{qa^2}{16} \begin{Bmatrix} 1 \\ 2 \\ 2 \\ 4 \end{Bmatrix}$$

Solutions du système d'équations

$$q_1 = 87qa^2/(280\kappa)$$

 $q_2 = 27qa^2/(112\kappa)$
 $q_4 = 27qa^2/(112\kappa)$
 $q_5 = 27qa^2/(140\kappa)$

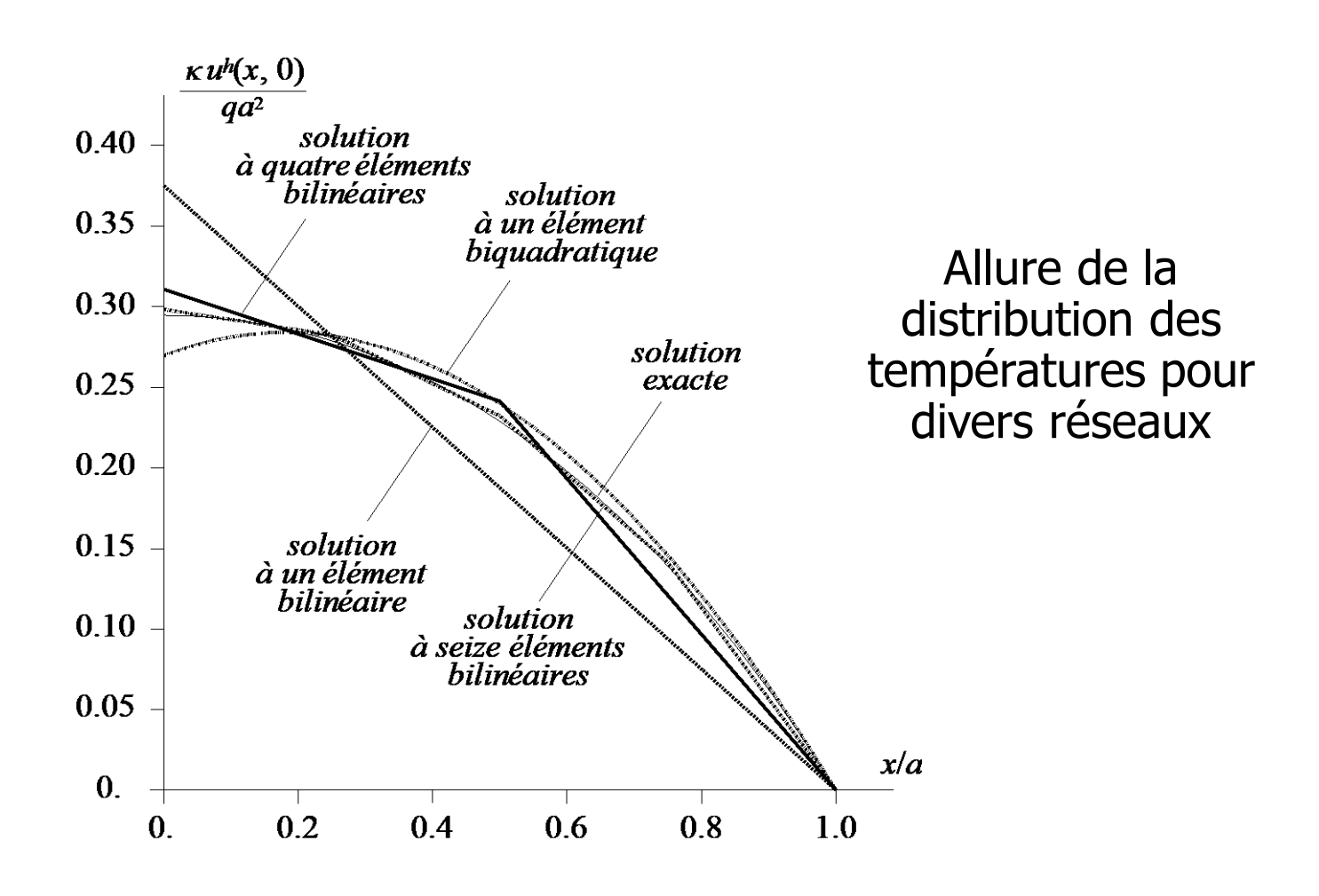
Distribution des températures

$$u^{h}(x, y) = \frac{qa^{2}}{\kappa} [0.3107 h_{1}(x, y) + 0.2411 h_{2}(x, y)$$

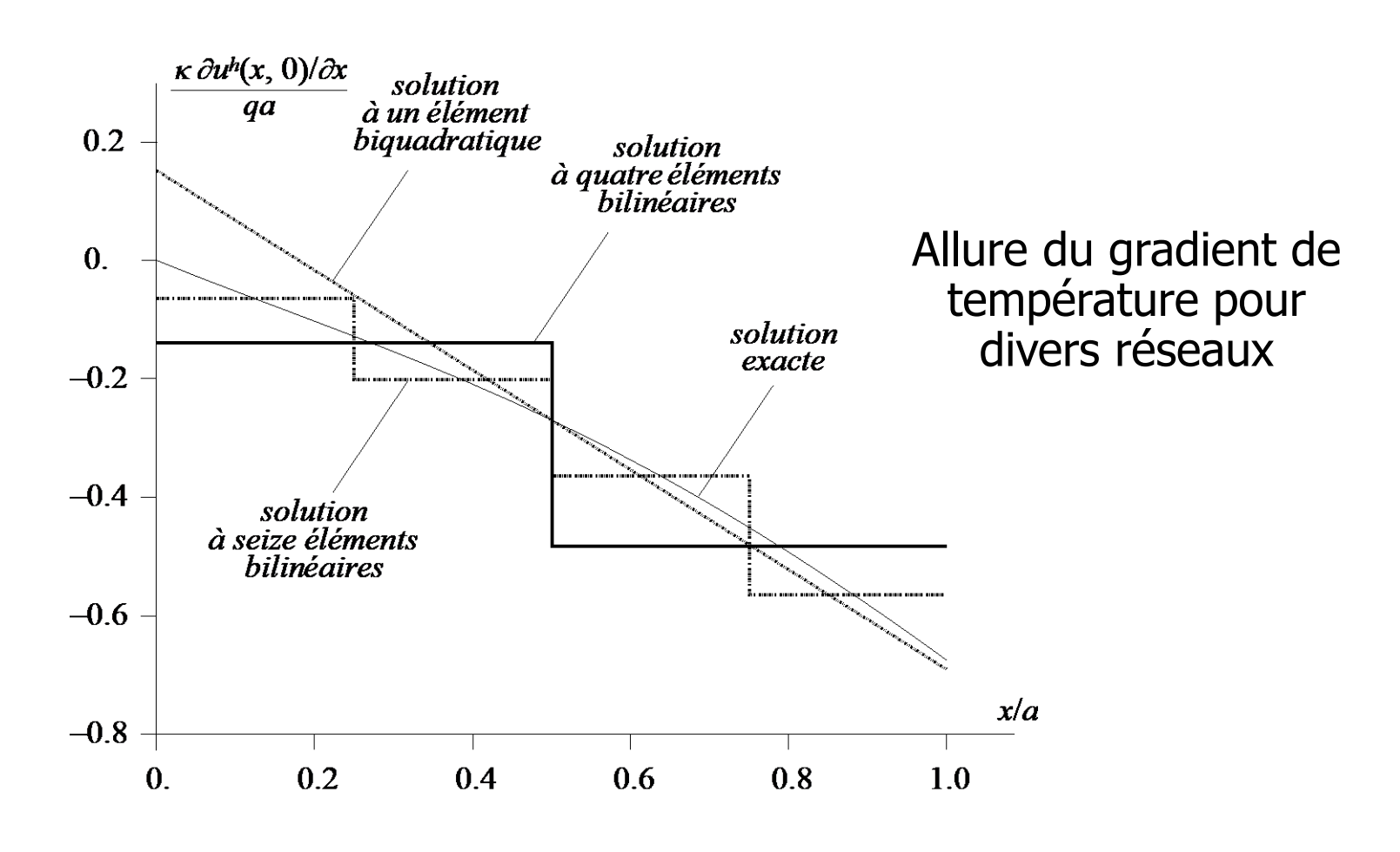
$$0.2411 h_{4}(x, y) + 0.1929 h_{5}(x, y)]$$

Allure de la distribution des températures solution approchée $u^h(x, y)$ 9 8 q_1 q_2 \boldsymbol{x}

21/12/2017 -161-



21/12/2017 -162-



21/12/2017 -163-

- Discussion des résultats et commentaires
 - Bonne précision des résultats pour les réseaux à 2×2 et 4×4 éléments finis bilinéaires
 - Précision assez faible des résultats pour les réseaux à 1×1 élément fini bilinéaire ou biquadratique
 - Gradient de température discontinu
 - Distribution peu précise du gradient de température, mais valeurs moyennes correctes au centre des arêtes des éléments